

アクリル酸オクチルとスチレンの共重合におけるルイス酸の効果

Effects of Lewis Acids on Copolymerization of Octyl Acrylate with Styrene

伊保内 賢*・妹尾 学*・浅原 照三*

Masaru IBONAI, Manabu SENŌ, Teruzō ASAHARA

1. 緒言

アクリル酸メチルのラジカル重合において四塩化スズ(SnCl_4)を添加すると重合速度は増加する¹⁾。またアクリル酸エステル類(メチル、エチル、ブチルエステル)とスチレンのラジカル共重合において SnCl_4 濃度の増加により、さらにメチル<エチル<ブチルの順に交互共重合性が大きくなる²⁾。これらのこととはアクリル酸エステルと SnCl_4 の錯体形式によると考えられている。

ここでは、コモノマとしてアクリル酸オクチルを用いてスチレンとの共重合を行なった。得られた2~3の知見を報告する。

2. 実験

(1) 試薬

モノマおよび溶媒は常法により精製し、開始剤(アゾイソブチロニトリル、AIBN)および SnCl_4 は市販特級品をそのまま使用した。

(2) 重合

反応試験管にAIBNを所定量秤量し、0°Cでエーテル、 SnCl_4 、アクリル酸オクチル(OA)、スチレンの順に加え窒素置換後、溶封し、65°Cの恒温槽中で静置重合した。スチレンのカチオン重合をおさえるためにエーテルを53 vol % 加えた。AIBNはモノマに対して0.4 wt % 添加した。重合終了後、0°Cに冷却して開封し、メタノール中に注ぎ、さらにベンゼンに溶解し、再びメタノール中に注いで沈殿させ、減圧乾燥し、秤量した。

3. 結果および考察

実験結果を表1に示す。図1に重合速度と SnCl_4 濃度との関係を示す。図1よりOAの単独重合において、 SnCl_4 濃度が増加するにしたがって重合速度は減少する傾向が認められる。メチルメタクリレート(MMA)は電荷移動剤として不活性であるが、MMA/ AlCl_3 錯体は活性であることが報告されている³⁾。またGaylordらはAIBN/ AlEt_3 存在下ではMMAの重合は抑制され、これは電荷移動剤であるMMA/ AlEt_3 錯体のためである

表1 OAの単独重合およびOA-St共重合結果^{a)}

実験番号	OA mol/l	St mol/l	AIBN wt% ^{b)}	SnCl_4 10 ⁻² mol/l	Et_2O vol%	重合時間 (hr)	収率 %	重合速度 %/hr	$[\eta]^c)$ dl/g
1-1	2.26	0	0.4	7.1	53	3.05	39.1	12.8	0.28
1-2	"	"	"	6.0	"	3.03	41.4	13.7	0.33
1-3	"	"	"	7	"	0.88	15.8	17.9	0.33
1-4	"	"	"	2.0	"	2.95	40.7	13.8	0.31
1-5	"	"	"	0	"	1.83	74.7	40.8	0.30
2-1	1.75	0.921	"	7.1	"	3.88	13.2	3.39	0.39
2-2	"	"	"	6.0	"	3.88	19.1	6.08	0.28
2-3	"	"	"	4.0	"	3.85	8.90	2.31	0.25
2-4	"	"	"	2.0	"	4.30	17.9	4.17	0.30
2-5	"	"	"	0	"	4.65	15.4	3.31	0.24
3-1	1.36	1.64	"	7.1	"	3.62	22.3	6.16	0.31
3-2	"	"	"	6.0	"	3.95	18.6	4.70	0.32
3-3	"	"	"	4.0	"	4.10	20.6	5.02	0.27
3-4	"	"	"	2.0	"	4.67	17.4	3.72	0.25
3-5	"	"	"	0	"	4.92	17.2	3.49	0.30
4-1	1.02	2.25	"	7.1	"	3.42	30.0	8.78	0.29
4-2	"	"	"	6.0	"	3.52	25.6	7.28	0.30
4-3	"	"	"	4.0	"	3.75	21.8	5.80	0.25
4-4	"	"	"	2.0	"	4.43	22.1	4.98	0.22
4-5	"	"	"	0	"	4.50	17.6	3.91	0.32
5-1	0.677	2.87	"	7.1	"	3.35	48.5	14.5	0.19
5-2	"	"	"	6.0	"	3.55	27.5	7.74	0.24
5-3	"	"	"	4.0	"	3.67	27.9	7.60	0.26
5-4	"	"	"	2.0	"	4.43	25.6	5.76	0.21
5-5	"	"	"	0	"	4.43	19.3	4.36	0.31
6-1	0.395	3.38	"	7.1	"	3.48	30.2	8.66	0.18
6-2	"	"	"	6.0	"	3.87	24.0	6.19	0.19
6-3	"	"	"	4.0	"	4.30	24.2	5.63	0.21
6-4	"	"	"	2.0	"	4.90	17.1	3.49	0.26
6-5	"	"	"	0	"	4.38	14.9	3.41	0.24

a) 重合温度は65°C, b) モノマーに対するwt%, c) $[\eta]$ はベンゼン中30°Cで測定

と報告している⁴⁾。本報告の系でも、OAの単独重合速度が SnCl_4 の添加により低下するのはOA-SnCl₄錯体が電荷移動剤として働くためと思われる。

OAとスチレンの共重合速度についてスチレンの仕込みモル分率が0.34のとき、 SnCl_4 濃度の増加によって顕著な変化はみられない。スチレンの仕込みモル分率が0.55のとき、 SnCl_4 濃度の増加によって共重合速度は少し増加するだけである。スチレンの仕込みモル分率が

* 東京大学生産技術研究所 第4部

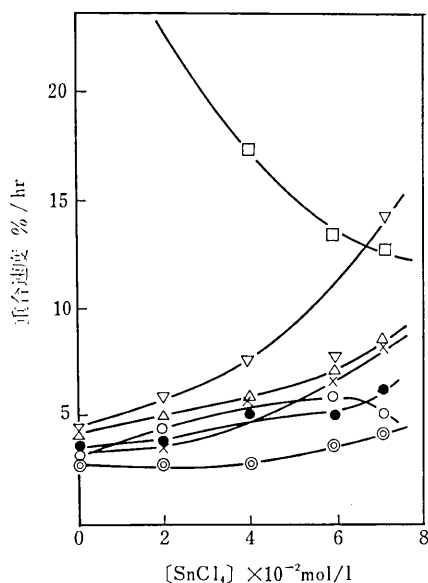


図1 OAとStの共重合における共重合速度と SnCl_4 濃度との関係

Stの仕込みモル分率
 □: 0.00, ○: 0.34, ●: 0.55, △: 0.69, ▽: 0.81,
 ×: 0.90, ◎: 1.00

0.7~0.9となると、 SnCl_4 濃度の増加による共重合速度の増加はかなり著しくなり、スチレンの単独重合における SnCl_4 の添加効果と、同様の傾向を示すようになる。

図2に共重合速度とスチレンの仕込み組成との関係を示す。この図から明らかなように、スチレンの仕込みモル分率が0.7~0.8のとき共重合速度が極大値を示す。これは、OAとスチレンが1:3の割合で SnCl_4 に配位し、 $[\text{OA}-\text{SnCl}_4-(\text{スチレン})_3]$ なる錯体を形成して重合が進行するものとして説明することができる。

共重合体の極限粘度(η)はほぼ0.2~0.3 dl/gの間にあり、

SnCl_4 濃度が0~0.02 mol/lの間では重合時の SnCl_4 濃度にあまり影響を受けない。

図3にポリアクリル酸オクチル(POA)とポリスチレンおよび共重合体のIRスペクトルを示す。共重合体のIRスペクトルはほとんど両ポリマーの重ね合わせとして説明できる。

図4に共重合体のNMRスペクトルを示す。POAにおける $-O-\text{CH}_2-$ のメチレンプロトンのシグナルは6.0 τ

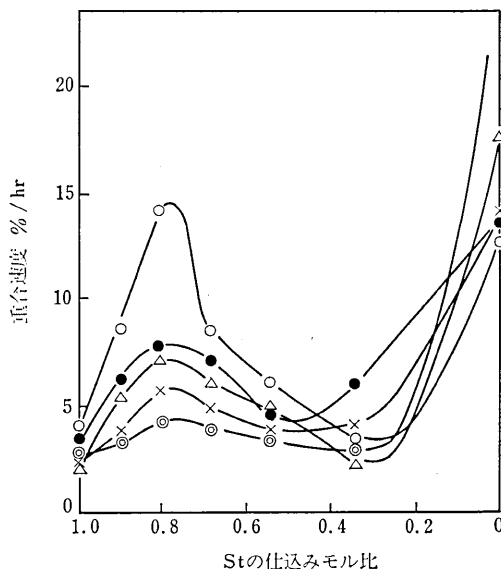


図2 OAとStの共重合における共重合速度とStの仕込み組成との関係

(SnCl_4)
 ○: 7.1×10^{-2} , ●: 6.0×10^{-2} , △: 4.0×10^{-2} ,
 ×: 2.0×10^{-2} , ◎: 0 (mol/l)

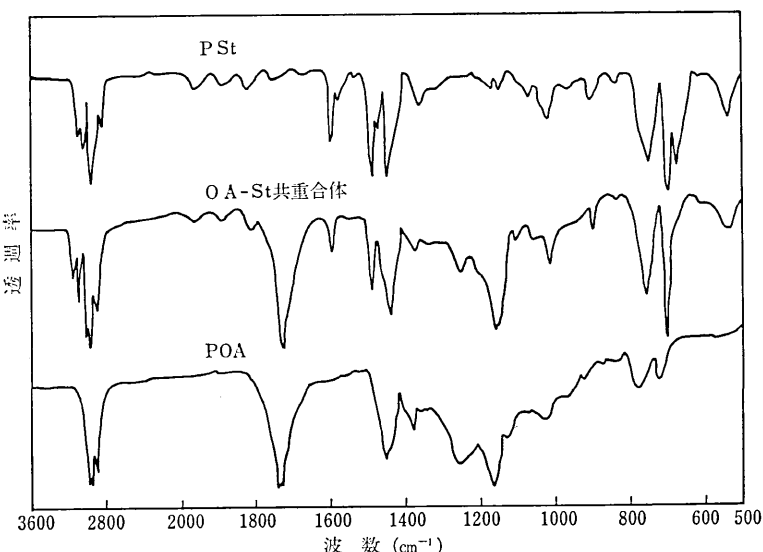


図3 OA-St共重合体のIRスペクトル

にあるが、共重合体では6.3 τ にシフトしている。

スチレンの仕込みモル分率の低い共重合体では、2.8 τ 付近のベンゼン核プロトンのシグナルの肩は、 SnCl_4 濃度によってあまり影響されないが、図4にみられるように、スチレンの仕込みモル分率が高いとき、 SnCl_4 濃度の増加にともないベンゼン核のプロトンのシグナルの肩が小さくなっている。

このことより、OA-スチレンの共重合において、スチ

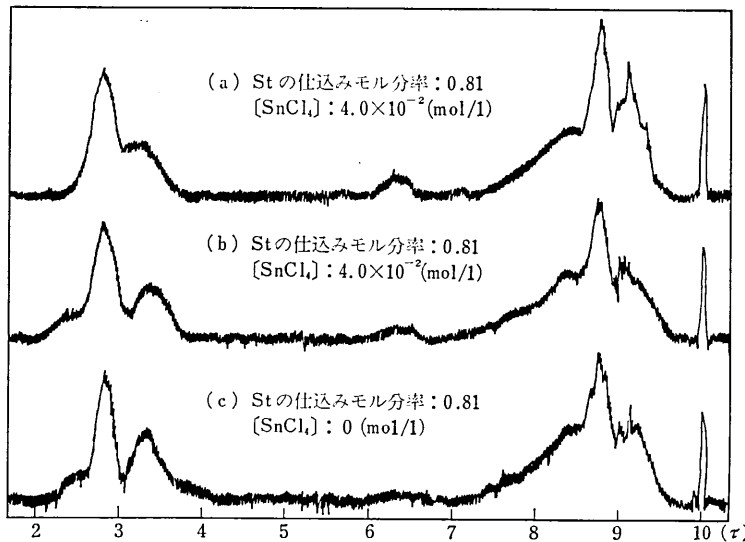


図4 OA-St共重合体のNMRスペクトル

表2 St(M₁)とOA(M₂)の共重合におけるモノマ反応性比

SnCl ₄ (mol/l)	r ₁	r ₂	r ₁ r ₂
0	0.82	0.41	0.34
2.0 × 10 ⁻²	0.36	0.26	0.094
4.0 × 10 ⁻²	0.50	0.31	0.16
6.0 × 10 ⁻²	0.45	0.25	0.11
7.0 × 10 ⁻²	0.87	0.79	0.69

レンの仕込みモル分率が高いとき、SnCl₄の添加によって、わずかではあるが、交互性が高くなることが示される。

NMRスペクトルから得られた共重合体の組成分析値を用いて、Fine man-Ross法によってスチレン(M₁)とOA(M₂)のモノマ反応性比を求めた。その結果を表2に示す。OA-スチレン共重合におけるr₁およびr₂は、SnCl₄濃度が0~0.06mol/lまではr₁, r₂ともに減少している。しかし、0.07mol/lでは逆に著しい増加がみられる。SnCl₄濃度が低い場合、ある程度の交互共重合性を示すが、SnCl₄濃度が高くなるとOA-スチレン-SnCl₄間で、さらに大き

な範囲で相互作用が働き、交互性が減少するものと考えられる。

参考文献

- 1) 伊保内 賢, 工化, 70, 1267 (1967)
- 2) 伊保内 賢ら, 日化第27年会要旨集, p. 59, (1972)
- 3) C. H. Bamford, S. Brumby: Makromol. Chem., 134, 159 (1970)
- 4) N. G. Gaylord, S. Mait: Markromol. Chem., 142, 101~110 (1971)

(1973年4月28日受理)

(p. 50 よりつづく)

とが結論される。(1)本機構による対応粒界の移動度はとくにΣ値の小さい対応粒界Σ7, 13において著しい。(2)これと比較するとその他の規則粒界の移動度はいづれも小さいと考えられる。以上の結果は面心立方晶の再結晶における知見^{1,2)}と一致し本機構が実際におこっていることを暗示する。

(1973年5月1日受理)

参考文献

- 1) M. L. Kronberg and F. H. Wilson: Metals Trans. 185, 501 (1949)
- 2) B. B. Rath and Hsun Hu: Trans. AIME 245, 1243
- (1969)
- 3) 石田: 生産研究(昭和48年5月号)
- 4) K. Lücke and K. Detert: Acta Met. 5, 628 (1957)
- 5) K. T. Aust and J. W. Rutter: Trans. AIME 215, 820 (1959)
- 6) E. R. Parker and J. Washburn: Trans. AIME 194, 1076 (1952)
- 7) W. T. Read: [Dislocations in Crystals] McGraw-Hill, (1953)
- 8) D. G. Brandon et al.: Acta Met. 12, 813 (1964)
- 9) Y. Ishida and M. McLean: Phil. Mag. 27 1125 (1973)
- 10) M. F. Ashby: Surface Science 31, 498 (1972)